

中国电机工程学会

1963年年会学术论文选集

杆塔架构专业

中国工业出版社

中国电机工程学会

1963年年会学术論文选集

杆塔架构专业

中国电机工程学会1963年年会
杆塔架构专业論文选集編輯小組編

中国工业出版社

中国电机工程学会
1963年年会学术論文选集
杆塔架構专业

中国电机工程学会1963年年会
杆塔架構专业論文选集編輯小組編

* 水利电力部办公厅图书編輯部編輯(北京阜外月坛南营房)

中国工业出版社出版(北京佟麟閣路丙10号)

北京市书刊出版业营业許可証出字第110号

中国工业出版社第一印刷厂印刷

新华书店北京发行所发行·各地新华书店經售

* 开本787×1092 1/16 · 印张11³/4 · 字数256,000

1965年1月北京第一版 · 1965年1月北京第一次印刷

印数0001—3,860 · 定价(科七)1.70元

* 統一书号: 15165 · 3599 (水电-471)

前　　言

中国电机工程学会1963年年会杆塔架构专业组出席代表32人，列席代表6人，代表了17个省、2个市和3个自治区。代表来自运行、施工、设计、制造和科研等25个单位。共收到论文38篇，属于杆塔架构专业的28篇，其中农业电杆4篇，运行经验4篇，制造工艺2篇，高杆塔组立方法及基础4篇，计算理论11篇，测试试验3篇。会上共宣读论文20篇。论文的学术水平，比较以前杆塔方面各技术会议上所宣读的有所提高，这说明我国电力线路杆塔技术已经开始突破了机械地套用国外公式、规范和参数的框框，在建立适用于我国情况的自己的技术标准、规范和计算理论方面迈进了一步。代表们对于论文中许多问题，如多种多样高杆塔的组立安装技术方法，岩石基础的理论数据，防止电杆裂纹等制杆工艺技术，电杆的挠度、刚度和自振频率，330千伏杆塔主杆的最佳撇开度，断导线时避雷线对杆塔的支持力，长的测量引线对应变测量误差的影响等，都作了细致深入的分析研究，并提出了自己的见解。研究分析问题时，更重视从基础理论出发进行推导，而不是局限于按照有关规程导则的规定来推导。例如对酒杯型铁塔的内力分析，应用了超静定原理进行了全面分析，对双层拉线杆塔也应用了支座处力矩与位移的关系方程组来进行计算等等。对于某些问题，还进行了科学试验工作，如330千伏带拉线撇腿杆塔的实体模型试验，环形碳面钢筋混凝土电杆刚度和抗裂性试验，应变测量的误差试验和岩石基础的模拟（缩小尺寸）仿真（实体）及鉴定试验，等等。论文中也提出了有独立见解的计算方法和公式，如关于避雷线支持力的计算中，也考虑了断线张力的相互关系等。虽然有些理论目前还不能直接在工程设计中应用，但对今后研究工作将起到良好的指导作用。不少论文利用了数学方法，使论证推理较过去更加严密，例如关于自振频率计算，应用了小位移的自由振荡联立微分方程组，以及在编制计算避雷线支持力的通用曲线时，应用了迭代逼近法，解决了繁复的计算。在编制计算避雷线支持力的通用曲线时，还开始应用了近代计算工具——电子数字计算机来计算线路设计中的复杂问题，为线路设计利用先进计算技术提供了先例。

代表们对节约大量钢材、木材、投资和劳动力的钢筋混凝土单、双杆的运行经验和改进意见，进行了热烈的讨论，认为这是我国杆塔架构技术的一个重大成就。

这次专业年会的代表来自不同工作岗位，从运行、制造、设计、施工等不同角度来考虑问题，使讨论更加全面深入，争鸣得很活跃，收获很大。

与会代表认为，为了更好地研究解决杆塔科学技术问题，做到生产实践与科学试验相结合，通过试验来验证理论，今后应大力开展科学试验工作。大家认为，对于许多问题试验还做得不够，包括实体模型实验和模拟试验，330千伏杆塔的实体试验有待于做到破损，制杆养护方法需要进一步比较恒温养护与升一恒一降温养护的两种方法，酒杯型铁塔内力分析和杆塔的自振频率等问题都最好做一些缩小尺寸的模拟试验，自振频率可以应用模拟计算机来计算，等等。近代计算工具，如电子模拟计算机和电子数字计算机等，应该更广泛地加以应用。此外，为了使科研成果更加符合于多快好省的要求，还应该加强技术经济分析的工作。关于杆塔的力学动态方面的工作也需要加强。

大家认为，这次会议取得很大成绩，主要是反映了现在已经达到的杆塔技术水平，这是贯彻党的调整、巩固、充实、提高八字方针，认真总结多年来工作经验的成果。论文和讨论的意见，对今后工作都有参考价值。现在选出其中14篇论文，由原作者重新作了详细校核，汇编成这一本论文选集。另将杆塔架构专业组专题讨论纪要也附在本论文集内，以供参考。

目 录

前 言

輸電線路應用岩石基礎的初步

分析 北京電業管理局基建工程公司第五基建處 欧陽道庚 (1)

輸電線路大跨越高塔整體起立施工經驗

介紹 浙江省電力安裝公司 曹仲華 (17)

環形截面鋼筋混凝土電杆剛度和抗裂性的理論計算及

試驗研究 西北電力設計院 胡紹薈 羅命達 (28)

環形截面電杆在瞬時及長期荷載作用下的

剛度 华東電力設計院 楊趣賢 (50)

330千伏帶拉線鋼筋混凝土電杆新杆型和設計中

幾個問題的探討 東北電力設計院 黃文華 唐光錄 (65)

110千伏雙層拉線鋼筋混凝土電杆的設計、試驗

和起吊 江蘇省電業管理局 陳 同 (77)

杆塔試驗中應用電阻應變儀的幾個問題

的探討 電力建設總局電力建設科學技術研究所 韓福嘉 翟書元 (88)

線路與杆塔體系橫向自振頻率的分析及其在風載、地震

計算中的應用的探討 华東電力設計院 楊趣賢 (104)

拔梢單杆(圓錐筒形結構)在橫向與垂直荷載作用下的

撓度計算公式的推導 西北電力設計院 胡紹薈 (111)

酒杯型鐵塔內力分析探討 华東電力設計院 唐國安 (119)

架空送電線路導線折斷時避雷線的支持作用 太原工學院 譚維康 (133)

架空電力線路避雷線支持力計算的

通用曲線 华北電力設計院 朱世良 (142)

呼包電網110千伏輸電線路設計上幾個問題對

運行的影響 內蒙古自治區電業管理局 李連山 (154)

帶拉線單杆(塔)輸電線路的運行經驗 上海供電局 (163)

中國電機工程學會1963年年會杆塔架構專業組專題討論紀要 (175)

輸電線路應用岩石基礎的初步分析

北京電業管理局基建
工程公司第五基建處 欧陽道庚

輸電線路經過地質堅硬的岩石地區時，地耐力很高，基礎設計條件受上拔力控制。若採用大型基礎，爆破大坑，則回填土容易流失，維護困難，同時雨季積水，基礎的穩固大受影響。如能合理利用岩石結構強度設計岩石基礎，則可使基礎強度高、穩定性好，並且可以大大減少混凝土量，節約資金。這是輸電線路建設中應研究推廣的重要項目。

北京電網內，有五個輸電線路工程採用了82基岩石基礎，計220千伏線路有54基，110千伏線路有28基。另外，尚有几基拉線基礎。施工中，減少石方約6000立方米，減少混凝土量約800立方米，減少運輸重量約3000噸，節約人工、鋼材、木材、水泥和汽油等工料費十多萬元。歷年運行情況良好，無維護工作，基礎穩固、安全可靠，為今后廣泛採用提供了參考資料。

在實用中，我們作過23次模擬試驗，四次仿真試驗和一次鑑定試驗。1963年我們又作過25個岩石基礎的試驗工作。由於技術水平較低，缺乏學術性的研究，準確性和精度不高，故實用中，採用試驗下限值設計，並按設計規程的安全系數增加50%；計算混凝土強度時，又考慮了材料的均質系數，所以，使用上是偏安全的。現將我們的體會和初步分析意見，簡要介紹如下：

一、岩石性能鑑別及基礎型式的選用

縱橫於崎嶇山野的輸電線路，其路徑塔位的選擇是經過細致嚴格的實地勘測審定的。難以穩固的地基，是不設置塔位的。因為地基有微小的滑動，不論什麼型式基礎的塔位都會隨之而產生位移。輕則塔身傾歪，重則引起倒塌。所以採用岩石基礎和採用一般基礎相同，是在地基穩固的前提下使用的。

關於岩石的風化發展，地質學有專門的分析、研究和論述。風化進程以百十世紀而論。風化原因是因不同的物理、化學和生、植物演變的連續作用而產生的。自然條件多變，風化程度不一，岩石結構產狀也是千差萬別，品類繁多。如何利用岩石性能設計岩石基礎，應有專門研究探討。但在使用初期，按岩石現存的結構性能，概括分類而設計幾種岩石基礎型式，是可靠而適用的。因為杆塔位置常位於有利的高崗上，水分容易流散滲透或蒸發，而非潛水積水或沖刷的地基。不論是有周期性的凍結或融化作用的寒冷地帶，或四季雨水而潮濕的溫帶，物理性的破碎松散或擴隙裂縫作用，或化學性的浸蝕作用，在百年內的影響是極為有限的，不會影響基礎安全。正如在海岸穩固的懸崖上的建築物，或高山、峻嶺上的古物建築，經常日晒、雨淋、風吹、冰凍，如不是人力破壞，可以幾個世紀地長存下來。

如何鉴别岩石质量，如何使结构强度在岩石基础中发挥作用，我们综合了一些地质资料，并提出了在岩石基础设计中对岩石分类的办法。

岩石是多种矿质的组合体，可概括地分为三大类，即火成岩、沉积岩和变质岩。根据形成程序、组合性能的不同，又可划分很多品种。现将常见的几种岩石结构及其技术性能列表如表1~3所示。

表 1 岩石机械强度

名 称	σ_u 抗压极限 (公斤/厘米 ²)			抗 拉 σ_p (公斤/厘米 ²)		抗 弯 σ_s (公斤/厘米 ²)		抗 切 (碎) σ_z (公斤/厘米 ²)	
	下限	上 限	一 般	下限	上 限	下限	上 限	下限	上 限
花岗岩	1231	2041	1581	34	57	85	140	85	140
闪长岩	1300	2900	2400	36	81	90	201	90	201
玄武岩	920	4570	2600	25	129	63	316	63	316
斑 岩	1344	2326	1830	44	77	140	240	86	148
片麻岩	480	2060	1200	16	68	50	217	30	132
致密石灰岩	390	1915	1030	23	113	46	228	32	132
大理岩	795	1161	949	47	68	94	138	65	96
砂 岩	291	1839	990	85	53	27	173	22	142
粗石岩	560	2600	1700						
砾石岩	65	241	159						

表 2 均质岩石强度系数及孔隙率

名 称	很致密	致 密	中 等	松 疏	孔 隙 率(%)
花 岩	23~37	16~32	10~15	6.0~10.0	0.19~0.56
玄 武 岩	35~45	28~34	13~24	8.0~12	0.02~1.13
斑 岩	25~35	18~24	12~27	5.0~11	辉绿岩
石 灰 岩	20~25	12~19	8.0~10	2.0~7.0	0.53~13.3
大 理 岩	15~20	12~14	9~10	3.0~8.0	0.53~13.3
砂 岩	15~32	1.0~1.4	5.0~8.0	2.5~4.0	3.63~28.2
页 岩	11~13	8.0~10.0	4.0~6.0	1.5~3.0	0.49~7.55

表 3 按产状划分岩石级别

级 别	强 度 系 数	岩石的产状及容重(括号内的数字，公斤/厘米 ³)
5	1.5~2.0	不坚实页岩(2.0)，软泥灰岩(1.9)，弱胶结砾岩(1.9~2.0)
6	2.0~4.0	中强页岩(2.7)，中强泥灰岩(2.3)，软多孔裂巨缝石灰岩(1.2)
7	4.0~6.0	坚实粘土质页岩(2.8)，坚实泥灰岩(2.5)，裂大缝粘土质砂岩(2.2)
8	6.0~8.0	云母页岩、砂质页岩(2.3)，泥灰质石灰岩(2.3)，粘土质砂岩(2.2)，砂砾花岗岩(2.3)
9	8.0~10	砂质石灰页岩(2.5)，密实石灰岩(2.5)，砂岩(2.5)，风化严重软花岗岩、片麻岩(2.5)
10	10~12	坚实页岩(2.6)，大理石、坚实石灰岩(2.7)，石灰胶结密实砂岩(2.6)
11	12~14	石英胶结坚实砂岩(2.7)，粗粒花岗岩(2.8)
12	14~16	极坚实石灰岩(2.9)，轻风化安山岩、玄武岩(2.7)，片麻岩(2.6)
13	16~18	中粒花岗岩(3.1)，坚实片麻岩(2.8)，辉绿岩(2.7)，斑岩(2.5)
14	18~20	高强石灰岩(3.1)，极坚细花岗岩(3.3)，花岗片麻岩(2.9)，坚斑岩(2.7)
15	20~25	坚实安山岩、玄武岩(3.1)，高强辉绿岩(2.9)，坚实石英岩(2.8)
16	>25	钙钠斜长玄武岩(3.3)，異常坚实辉绿岩、石英岩和斑岩(3.3)

岩石产状不同，强度级别和性能相差很远。我们在岩石基础设计中，是这样分类的：

第一类 轻微风化稍有裂隙的致密而坚硬的整块岩石，开采后与混凝土有很好粘结作用，故设计采用粘结式基础；

第二类 岩石风化较重，裂隙大而层深，产状大块，抗挤压强度高，嵌固基础的强度高，故设计嵌固式岩石基础；

第三类 风化较严重的岩石，层理裂隙，错综复杂，产状小块，抗压强度低。开凿孔浇注混凝土基础楔固于岩石中，故设计采用锥楔型基础。

粘结式基础适用范围很广，所有铁塔基础和拉线基础均可采用。嵌固式基础则只适用于窄基铁塔基础。锥楔型基础只适用于宽基铁塔基础。为便于岩石基础的选择，特综合有关实用资料如表4所示。

表4 各型岩石基础实用参数

基础型别	岩石类别及其产状	适用范围	施工方法	备注
粘 结 式	10级以上整块坚硬的岩石，仅有轻微的风化裂纹。如粗、中、细粒的花岗岩，坚实的砾岩，安山岩，玄武岩，胶结密实的砂岩和坚实的石灰岩，大理石等，容重在2.6以上。	各型 铁塔 和 拉 线 基 础	(1)采用人力或动力打眼。 (2)用200#以上砂浆浇注。	(1)页岩不适用。 (2)地脚螺栓分根稳固。 (3)局部有夹层扩大岩石孔，将每个塔脚螺栓组埋入一个孔内，并改用140~170#混凝土。
嵌 固 式	风化较严重的火成岩，裂隙大，有夹层，成大块状。如松疏的花岗岩、玄武岩、安山岩等，强度在7~9级高；中等地质的大理石、石灰岩，强度在9级上下。 致密的页岩，但质地均衡，并无风化夹层。	窄基 铁塔 基础	(1)采用一般爆破法施工。 (2)混凝土标号为90~110#。 (3)基础外层应与岩石坑壁贴靠。	(1)表层允许有覆盖层，但厚度小于坑深的20%。 (2)覆盖层下，必须是大块石。 (3)爆破后松动的坑壁用砂浆填固，坑边突出的大石清洗后，浇入基础内。
锥 楔 式	风化极严重的各类岩石，强度在6级以上，产状小块。裂隙细而多，夹层薄而有土质。	宽基 铁塔 基础	(1)采用人力挖掘，或深眼少装药的松动爆破。 (2)用140~170#的混凝土。	(1)层理倾斜度较大的风化页岩不能采用。 (2)有覆盖层，坑深应按覆盖层厚度b加深 $\frac{b}{3}$ 。

二、各型岩石基础的计算分析

各型基础利用岩石结构强度性能不一，计算方法是分类考虑的。

1. 粘结式岩石基础

适用于这类基础的岩石强度，远高于高标号砂浆。岩石结构强度不需作任何验算。砂浆或混凝土与地脚螺栓的握着应力，可套用技术标准值计算，实用中，地脚螺栓埋入混凝土深度，满足于25倍地脚螺栓直径，而又有适应的弯钩形状，则大于地脚螺栓的机械强度。砂浆与岩石之粘结应力，取决于砂浆的标准应力和施工的均质系数，其计算方法为：

$$P_{1c} = K_s R_{cu} \times \pi \phi h_1 \times \frac{\alpha N}{m}, \quad (1)$$

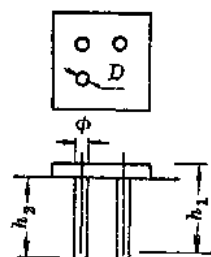


图1

$$P_{1c} = K_\delta R_s \times \pi D h_1 \times \frac{N}{m}, \quad (2)$$

式中 P_{1c} ——砂浆与地脚螺絲的极限握着力，公斤；

P_{2c} ——砂浆与岩石的极限粘結力，公斤；

K_δ ——混凝土的匀质系数；

R_{cu}, R_s ——混凝土的粘結及切应力，公斤/厘米²；

ϕ, D ——地脚螺絲和岩石孔直径，厘米；

h_1 ——地脚螺絲埋入混凝土的深度，厘米；

h_2 ——岩石孔的有效深度，厘米；

N, α ——地脚螺絲根数及弯鉤形状系数；

m ——螺絲組单根荷重分配不均系数。

在砂浆标号、地脚螺絲根数及弯鉤形状确定后， $K_\delta R_{cu} \times \frac{\pi \alpha N}{m}$ 和 $\frac{K_\delta R_s \pi N}{m}$ 均为常数，则(1)、(2)式可简化为：

$$P_{1c} = B \phi h_1, \quad (3)$$

$$P_{2c} = \rho D h_2, \quad (4)$$

式中 $B = \frac{K_\delta R_{cu} \pi \alpha N}{m}$ ；

$$\rho = \frac{K_\delta R_s \pi N}{m}.$$

参考有关书籍并结合我們的試驗数据，現提出有关参数如表 5 ~10所示。

表 5 混凝土及砂浆的标准应力及匀质系数 K_δ

标准应力 (公斤/厘米 ²) 及 K_δ	90	140	200	250	300	K_δ
应 力 分 类						
弯曲受压 R_u	90	135	180	220	250	0.55
长直强度 R_{up}	72	108	145	175	200	0.55
拉应力 R_p	10	13	17	20	23	0.40
切应力 R_s	22	28	37	45	51	0.40
粘结应力 R_{cu}	18	25	34	42	48	0.40

表 6 鋼筋弯直鉤的形状系数 α

直 鉤 长 度	0	1.0 ϕ	3.0 ϕ
增 加 强 度 系 数 α	1.0	1.5	1.68

注：若地脚螺絲根部焊固一个螺帽，则 $\alpha > 2$ 。

表 7 螺絲組荷重分配系數 m

每組螺絲根數 N	1	2	3	4
分配系數 m	1.0	1.2	1.3	1.35

表 8 采用200#砂浆, $\alpha=1.5$ 的 B 、 ρ 值

N	1	2	3	4
B	64	116	148	189
ρ	46.5	77.4	107.5	154

如岩石孔有局部风化夹层，粘結质量大受影响，因此应扩大岩石孔，将地脚螺絲組浇注在一个岩石孔內，同时降低标号，改用140#混凝土。計算粘結面积，应按局部夹层厚度进行核減（表 9）。地脚螺絲改用半圓鉤，基础强度只驗算混凝土与坑壁的粘結力，即：

$$P_{zc} = K_s R_z \times \pi D h_z f = \rho_0 D h_z . \quad (5)$$

f 及 ρ_0 的数值如表9~10所示。

表 9 局部夹层核減粘結面积系数 f 值

局部夹层厚度	与孔深比值			
	<0.1	0.1~0.15	0.15~0.2	0.2以上
核減系数 f	0.9	0.82	0.7	改变基础形式

表 10 采用140#混凝土計算参数 ρ_0 值

f	0.9	0.82	0.7
ρ_0	31.7	28.3	24.8

2. 嵌固式岩石基础

窄基铁塔采用空心整体形的嵌固式基础，按倾复弯矩計算。外荷弯矩为 $M=QH$ 。

抗倾复弯矩由两部分組成：第一部分为坑壁侧压力及其摩擦力所产生的弯矩；第二部分为基底反力及其摩擦力所产生的弯矩。为了提高其安全度，只計算坑壁侧压力的抗倾复弯矩，如图 2 (1) 所示，即：

$$KM = K Q H = (X_1 + X_2) \cdot (1 - 2\theta^3) \frac{2h}{3}, \quad (6)$$

式中 X_1, X_2 —— 坑壁两侧的反力。

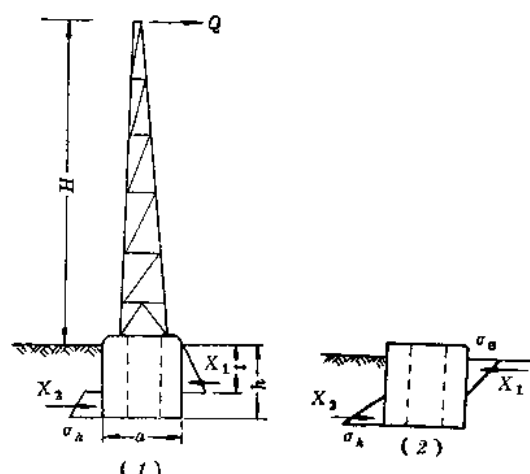


图 2

因有較大风化夹层或有覆盖层，其坑壁应力为三角形分布，如图 2(2)所示。

σ_x 由 0 $\rightarrow \sigma_h$ 。

$$\text{坑壁侧压力总值为: } E = X_1 + X_2 = \frac{1}{2} \sigma_h ah.$$

σ_h 值取基坑底岩石或混凝土抗压应力的較低值。这类基础通常用 90# 混凝土基础。按表 5 得:

$$\sigma_h = K_s R_s = 49.5 \text{ 公斤/厘米}^2 = 495 \text{ 吨/米}^2.$$

鉄塔結構基础尺寸通常是 $H/h > 4$ ，故取 $\theta = 0.722$ ，

代入 (6) 式得:

$$KM = 40ah^2, \text{ 或 } h = \sqrt{\frac{KM}{40a}}. \quad (7)$$

如塔位基面无覆盖层，风化夹层少而薄，则基坑侧压应力的分布如图 2(2)，抗倾弯矩的計算為:

$$KM = KQH = X_1 \left\{ \frac{2}{3}t + \frac{2}{3}(h-t) \right\} = \frac{2}{3}X_1 h. \quad (7a)$$

(7a) 式的計算，取 $X_1 \approx X_2$ ($\because X_1 = X_2 + Q$ ，但 $X_2 \gg Q$)。

$$X_1 = \frac{\sigma_0}{2}ta, \quad X_2 = \frac{\sigma_h}{2}(h-t)a, \quad \text{取 } \sigma_0 = \frac{2}{3}\sigma_h = 330 \text{ 吨/米}^2,$$

$\therefore t = 0.6h$ 。代入 (7a) 式得:

$$KM = 66ah^2, \text{ 或 } h = \sqrt{\frac{KM}{66a}}. \quad (7b)$$

3. 錐楔式基础

此类基础抗上拔力极限值，为基础表面与岩石发生的最大阻切作用力。

当周围岩石结构发生破坏而出現放射性的裂紋时，即达上拔力极限值。

$$KP = \sigma_s A_s = \pi \cdot \frac{a+b}{2} h \sigma_s, \quad (8)$$

式中 a, b ——圆錐型岩石孔的上、下口直径 (图 3)，厘米；

A_s ——基础表面面积，厘米²；

σ_s ——岩石的阻切应力，公斤/厘米²。

因岩石产状及风化程度不同， σ_s 值变动很大。取試驗下限值計算，其几何尺寸仿楔型綫夾設計，坡度比为 8~10，

$$\text{即 } \frac{2h}{b-a} = 8 \sim 10.$$

岩石风化程度稍輕時，坡度比取 10，令 $b/a = x$ ，則 $h = 5a(x-1)$ 。

代入 (8) 式得:

$$KP = 7.87a^2(x^2 - 1)\sigma_s, \quad (9)$$

其单个混凝土体积为:

$$V = \frac{5\pi a^3}{3 \times 4} (x^2 - 1) = 1.31a^3(x^2 - 1). \quad (10)$$

在我們的几次試驗中， σ_z 值最高為4.07公斤/厘米²，最小為1.2公斤/厘米²，而設計計算用1.2公斤/厘米²值。

茲將 $x=1.4$ 、1.5和1.6值代入(9)、(10)式中，求出 KP 、 V 和 h 的 $f(a)$ 函數如表11所示。

表 11 h 、 KP 和 V 的 $f(a)$ 函數

$f(a)$ 項 別	x 值	1.4	1.5	1.6
h		$2.0a$	$2.5a$	$3.0a$
KP		$90.7a^2$	$118a^2$	$147a^2$
V		$2.3a^3$	$3.1a^3$	$4.1a^3$

x 值，將按岩石不同風化程度而採用不同的數值。風化嚴重的， x 值取最大值較合理。坡度比取8時，則表11的系數乘以0.8計，而坑深宜大於1.5米。

4. 例題

某工程 PY_{30} 塔基礎的設計條件：

上拔力 $P=14.09$ 噸；水平力 $a=1.47$ 噸；

彎矩89噸·米；根開3152毫米。

原設計素混凝土基礎和三類岩石基礎的技術經濟數據如表12所示。

表 12 PY_{30} 鐵塔各型岩石基礎與素混凝土基礎技術經濟比較

基礎型號	原設計基礎	岩 石 基 础						
		粘結式	嵌固式	錐楔式				
簡圖	 (1)	 (2)	 (3)	 (4)				
混凝土量(米 ³)	31.6	100%	1.1	3.5%	12.6	40%	5.05	16.0%
石方(米 ³)	104	100%	0.8	0.77%	20.6	19.8%	4.72	4.5%
運輸重積(噸)	95	100%	3.5	3.2%	41.0	43.2%	15.5	16.3%
水泥(噸)	7.5	100%	0.82	11%	2.8	37.4%	1.36	18.2%
木材(米 ³)	30	100%	0.3	10%	1.2	40%	0.3	10.0%
鋼材(公斤)	262	100%	147	56%	200	76%	200	76%
金額(元)	2832	100%	291.5	10.3%	1220	43.2%	570	20.1%

三、試 驗 方 法

在三類岩石基礎中，計算混凝土強度時，採用鋼筋混凝土學或有關規程中的標準數

据，是完全符合科学技术原則的，可不作試驗。我們在粘結式岩石基础中，作过一些模拟和仿真試驗，其效果說明利用标准数据是可靠的。但嵌固和錐楔式岩石基础的岩石质量，因风化程度不同而变化很大，所在全綫勘測后，选其較严重的地点，进行仿真試驗鑑定实屬必要。現将我們进行的試驗工作，簡要归纳分析如下：

1. 模拟試驗

23次模拟試驗中，粘結式有18次，錐楔式有5次。試驗数据如表13、14所示。

表 13 粘結式模拟試驗記錄

試 件 号	鋼 筋		岩 石 孔		試 驗 最 大 值 (公 斤)	破 坏 情 况	試驗应力(公斤/厘米 ²)			备 注
	直 径 中	埋 深 h_1	直 径 D	孔 深 h_2			鋼 筋 a_n	R_{cu}	R_s	
1	*12	100	40	130	3400	未破坏	3010	>90	>27	
2	*2×12	100	40	130	5600	鋼筋拔出	2480	74	>22.2	
3	12	300	40	330	4600	鋼筋拔出	4060	40.9	>12.2	
4	12	300	40	330	6400	鋼筋拔出	5660	56.8	>17.0	
5	12	300	40	330	5600	鋼筋拔出	4950	49.6	>14.8	
6	*16	200	40	230	6800	鋼筋拔出	3380	67.5	>27.0	
7	*16	200	40	230	7600	鋼筋拔出	3780	75.2	>30.2	
8	*16	200	40	230	9000	未破坏	4480	>82.9	>35.7	
9	2×16	200	40	230	8000	鋼筋拔出	1990	39.7	>15.9	
10	16	200	40	230	4800	鋼筋拔出	2390	47.5	>19.1	
11	*19	200	40	230	7600	未破坏	2680	>63.4	>30.2	
12	*19	200	40	230	10000	未破坏	3520	>83.3	>39.7	
13	*19	200	40	230	10000	未破坏	3520	>83.3	>39.7	
14	*25	750	60	800	19600	未破坏	4000	>33.3	>13.0	
15	*25	1100	50	1200	24300	混凝土局部压坏	4950	>28.0	>12.9	
16	*25	1100	50	1200	24000	混凝土局部压坏	4900	>27.7	>12.8	
17	*19	1000	35	1100	11500	未破坏	4050	>19.3	>9.5	
18	*25	750	60	800	15200	混凝土与岩石间有裂纹 四周有效放射性裂纹	3100	>25.8	>10.1	

注：以上試件鋼件，利用余料，鋼号不一，且有冷拉后鋼筋，破坏拉力較高。均采用250#砂浆浇注。鋼筋直徑格內有“*”者，系有一倍直径的弯钩，或底部焊有三根小一号鋼筋，其長度約為2中。

表 14 錐楔式模拟試驗記錄

試 件 号	鋼 筋		岩 石 孔			破 坏 力 (公 斤)	阻切应力 (公斤/厘米 ²)	破 坏 情 况		
	直 径 中	埋 深 h_1	直 径 a	孔 深 b	孔 深 h_2			破 坏 情 况		
1	2Φ16	650	250	350	750	9400	1.42	周围有放射性裂纹，最大的为-3×1160毫米		
2	2Φ16	650	250	350	700	8560	1.30	上拔2毫米，周围裂纹-3×600毫米		
3	2Φ19	650	250	250	700	11600	2.11	最大裂纹-2×700毫米		
4	2Φ25	650	250	350	700	18400	2.8	上拔2毫米，裂纹-1.4×500毫米		
5	2Φ25	650	250	250	700	22400	4.07	周围有-2.0毫米裂纹		

(1)砂漿与地脚螺絲之粘結应力，在表13中，有弯钩的 R_{cu} 平均值为72.2，无弯钩的平均值为46.9，二者的比值 $\alpha=1.54$ ，与建議用的数值1.5接近（見表6）。

(2) 250#砂浆的 R_{cu} 值，查表 5 为 42 公斤/厘米²，而试验平均值为 46.9 公斤/厘米²，最低值 39.7 为标准值的 94.4%，最大的 56.8 为标准值的 135%。其施工质量的幅度影响，远较规程规定 $K_s=0.4$ 偏安全，故用表 5 值设计是可靠的。

(3) 锥楔型岩石基础的阻切应力为 1.3~4.07，变化较大，均非上拔位移破坏，而是岩石结构力破坏，出现放射性裂纹。故按安息角控制土壤之结构力进行稳定验算(见下节)。

2. 仿真试验

在模拟试验的基础上，设计实用基础的尺寸，并进行仿真试验，意义非常重大，尤其是锥楔型和嵌固式基础均显得十分需要。下面是我们在工程中所作的仿真试验(表 15)。

表 15 粘结式及锥楔式仿真试验记录

类 别	粘 结 式		锥 楔 式				
	标 准 型	特 殊 式					
设计资料	塔 型 上 拔 力 水 平 力 地 脚 1	110 千伏 РУ ₃₀ 14.09 吨 1.47 吨 3φ 25	200 千伏 ПД ₂ 12.6 1.78 3φ 25	220 千伏 УД ₃₀ 26.0 3.7 3φ 36			
				220 千伏 ПД ₂ 12.6 1.78 3φ 25			
基础简图 (均用四根筋)							
	(1)		(2)				
	(3)		(4)				
试 验	项 别	上 拔	水 平	上 拔	水 平	上 拔	水 平
荷 重 (吨)	100%	14.09	1.47	12.6	1.78	26	3.7
	200%	28.18	2.94	25.2	3.56	52	7.4
	300%	42.27	4.41	37.8	3.56	71	7.4
	400%	56.30	5.58	50.4	3.56		
	500%	37.00		66.5	3.56	44	4.4
破 坏 情 况	第一次加载到 400% 无变形，第二次到 518% 外力稍偏，边缘混凝土稍有裂纹	加载到 530% 试验支点损坏终止试验 钢筋屈服延伸引起 边缘混凝土上有 0.2 毫米裂纹	加载 150% 时，岩石受振有微纹 200% 时，微纹可见宽度 250% 时，纹宽 2 毫米 300% 时，-8×1960，基础破坏	加载 200%，三条小纹。 400% 时，三条裂纹扩大为 -5×1430 毫米， -4×1170 毫米， -7×1030 毫米， 基础破坏			

(1) 粘结式基础由于试验设备的限制，试件均未破坏。计算应力采用模拟试件记录。

(2) 锥楔型基础 140#混凝土，与岩石的接触面积：УД₃₀ 为 59,900 厘米²；ПД₂ 为 31,400 厘米²，计算阻切应力为：УД₃₀ 的 $\sigma_c = 1.2$ 公斤/厘米²；ПД₂ 的 $\sigma_c = 1.4$ 公斤/厘米²。其值与同一地点的模拟试件(表 14 之 1#、2# 试件)的试验值接近，其基础破坏简况如图 4 所示。

(3) 锥楔型基础的稳定验算，按极限平衡原理计算。平衡极限上拔力为岩石结构面上

的錐形土壤重量 G 和結構破壞面的摩擦阻力，如圖 5 所示。

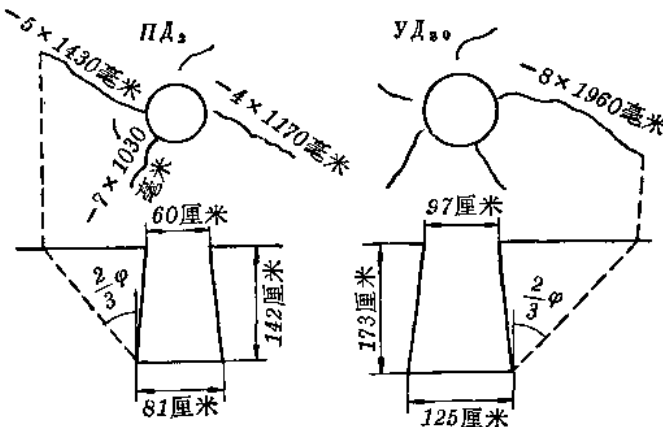


图 4

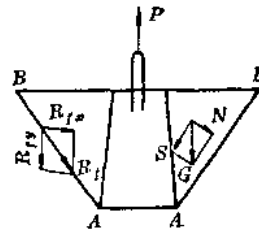


图 5

$$\therefore P = G + R_{fy}, \quad (11)$$

式中 G —— 受 $\frac{2\varphi}{3}$ 控制。 φ 为风化岩石土壤的安息角；

R_{fy} —— 岩石破坏面 AB 产生摩擦阻力 R_f 的垂直分力。 $R_{fy} = R_f \cos \frac{2\varphi}{3}$ 。在 $A B$ 面破坏之前，所承受的垂直压力 $N = G \sin \frac{2\varphi}{3}$ ；

$$R_f = N_f = N \tan \varphi = G \sin \frac{2\varphi}{3} \tan \varphi。 \text{代入(11)式, 得:}$$

$$P = G + G \sin \frac{2\varphi}{3} \tan \varphi \cos \frac{2\varphi}{3} = G \left(1 + \frac{1}{2} \sin \frac{4\varphi}{3} \tan \varphi \right). \quad (12)$$

根据 (12) 式将 ПД₂、УД₃₀ 之試驗結果分析比較如表 16 所示。

表 16 錐楔型岩石基礎計算極限力和試驗荷重比較表

基础型式	风化岩石土壤 安息角 φ	G (吨)	P (計算值)	試驗荷重 (Q)	P/Q
ПД₂	64.5°取60°	22.1	41.0	44.0	93%
УД₃₀	67°取60°	47.8	89.0	71.0	125%

基面裂紋長度系順弯曲測定的，非放射長度，故取 $\varphi=60^\circ$ 驗算。

3. 鑑定性試驗

某工程，采用了几基嵌固式基础。在組塔后进行試驗。但限于結構强度，只作100%荷重試驗。尤其当时用絞磨单绳牵引，接近100%荷重时，发生牽引設備跳动，振动較大。按常用振动系数 1.4 計，荷重有显著增加，塔身挠度較大，基础分毫未动。六年来运行情况良好。

其驗算結果如下：基础尺寸 $2.9 \times 2.9 \times 1.5$ 米。

設計荷重为84吨·米。混凝土标号为90[#]。

按(7)式計算, $K = \frac{40 \times 2.9 \times 1.5^3}{84} = 3.1$ 。按設計規程規定, 直綫塔基础稳定系数

为1.5, 增加50%后为2.25。而計算 K 值大于2.25, 所以运行是安全的。

4. 試驗方法的改进

为了进一步求得各类岩石基础的特性, 1963年又进行了25个試件的試驗。計模拟試件22个(其中粘結式的17个, 嵌固式的3个, 錐楔式2个), 嵌固式仿真試件3个。部分試驗在京郊良乡城东进行, 另一部分是1961年某工程未破坏的試件。

(1) 砂漿和岩石的粘結应力, 各次試驗中, 均是鋼筋拔出或斷折, 其試驗值 R_c 大于計算用标准值, 效果很好, 如表17所示。

表 17 砂漿与岩石粘結后的切应力 R_c 值試驗記錄

1961 年 試 件	1	2	3	4	5	6	7	8	9
鋼 筋 直 径	19	19	12	12	19	12	12	12	12
弯 鈎 形 状	1#	1#	1#	1#	1#	0	0	0	0
岩石与砂漿粘結面積 (厘米 ²)	37.6	25.0	25.0	50.0	43.8	450	313	275	250
試 驗 值	4800	2000	3600	2300	1500	4500	2800	2800	4800
K_c 值 大 于 (公斤/厘米 ²)	127	80	144	46	34.2	10	9	10.2	19.2
試 件 号	10*	11*	12*	13*	14*	15*	16*	17*	18*
鋼 筋 直 径	Φ 15/135	Φ 16/14	Φ 19/16	Φ 18/16	Φ 11.5	Φ 16	Φ 16	Φ 19	Φ 16
螺 帽 周 長 (毫米)	120	105	124	101	90.0	0	0	124	0
岩石与砂漿粘結面積 (厘米 ²)	132	119	128	125	119	478	478	478	432
試 驗 荷 重	6150	5100	待 以 后 作 試 驗	4760	4700	1700	2700	7200	2250
破 坏 情 况	絲 扣 断	螺帽焊口处断		螺帽焊口处断	鋼筋断	抽 焊	抽 焊	未破坏	抽 焊
R_c 值 大 于 (公斤/厘米 ²)	46.6	42.8		38.0	39.4	3.5	5.5	14.8	5.2

在17个試件中, 1~5*試件都是弯鈎伸直或粘着砂漿而滑出, 砂漿与岩石的粘結力 R_c 高达144公斤/厘米², 尚未破坏, 其效果很好。在1963年8月2日浇制的10~14*試件中, 砂漿标号为300*, 在平均溫度約25°C养拆下, 9天后作試驗, 而 R_c 均大于38公斤/厘米², 即大于200*砂漿的 R_c 值。尚有試件大于300*砂漿强度。各次試驗中, 均証明砂漿与岩石的粘結性能完全滿足于砂漿标准应力的要求, 尤其岩石基础中, 岩石与砂漿的粘結面积都是3~4倍于砂漿和地脚螺絲的粘結面积, 因此, 其作用可以說是万无一失。为加强地脚螺絲稳固和减少坑深, 在地脚螺絲根部加螺帽焊接。这对相应地提高粘結作用很大, 在10~14*試件中, R_{cu} 值增加很大, 10*試件达122公斤/厘米², 相当于弯鈎系数 $\alpha = \frac{122}{42} \approx 3.0$,

这是今后岩石基础设计中的重要参数资料。

(2) 嵌固式岩石基础试验，在三个模拟试件中进行。浇小型立方体混凝土块于岩石中，埋入一根三角钢 $\angle 75 \times 6$ （图6）。在试验中，均因角钢变形，中止试验，三个试件均未破坏。试件岩石质量风化程度，1#稍重，2#、3#较好。其试验记录如表18所示。

表 18 嵌固式基础模拟试验记录

試 件 數 量 項 目	基 礎 尺 寸 (厘米)			計 算 KM (公斤·厘米)	試 驗 荷 重			試驗值 計算值 (%)	備 注
	a	b	h		H	Q	KM		
1#	14	15	11	11200	28.5	550	15650	140	(1) 均系角钢变形
2#*	17	21	13	31800	42.5	750	31800	168	(2) 基础均未变形或移动
3#*	20	23	20	50000	45	710	32000	64	

注：带“*”者系套上一根较大的槽钢试验的。

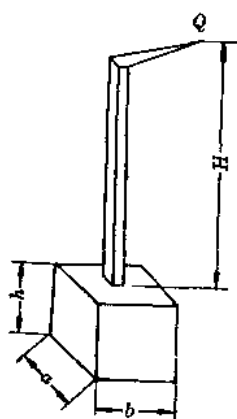


图 6

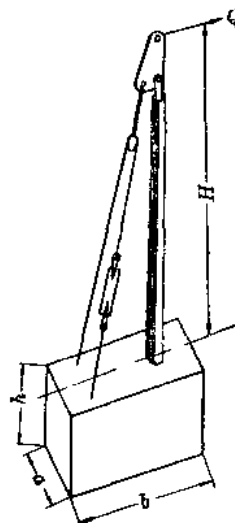


图 7

计算 KM 值按(7b)式计算，因 $\angle 75 \times 6$ 角钢强度不足，均未使模拟试件破坏。

在三个嵌固式基础的仿真试验，选在一个偏坡地点，附近有较深的土壤层，中间有未风化的石英质类的大块石，表层也有小量的中块状岩石，并多是单独存在为粘土所包围的。基础尺寸及试验布置如图7所示。试验记录如表19所示。

三个试件按(7)式计算，均未达破坏极限计算值。按安全系数为4时的容许值考虑，其试件的破坏条件：1#为363%；2#为292%；3#为306%，均未达到400%。因风化层深，粘土成分多。1#试件前后表层有大块石，在试验中均未移动，而是基础本身中部混凝土切断。但较用土壤特性A计算值则大数十倍。设土壤条件为 $\gamma=1.9$, $\varphi=45^\circ$, $P=20$ 吨/米²，则 $A=11.1$ 吨/米³。其抗倾弯矩值与试验值比较，如表20所示。